



自动化学报

Acta Automatica Sinica

ISSN 0254-4156, CN 11-2109/TP

《自动化学报》网络首发论文

题目: 基于定制内点法的多无人机协同轨迹规划
作者: 王祝, 徐广通, 龙腾
DOI: 10.16383/j.aas.c200361
收稿日期: 2020-05-27
网络首发日期: 2020-11-20
引用格式: 王祝, 徐广通, 龙腾. 基于定制内点法的多无人机协同轨迹规划[J/OL]. 自动化学报. <https://doi.org/10.16383/j.aas.c200361>



网络首发: 在编辑部工作流程中, 稿件从录用到出版要经历录用定稿、排版定稿、整期汇编定稿等阶段。录用定稿指内容已经确定, 且通过同行评议、主编终审同意刊用的稿件。排版定稿指录用定稿按照期刊特定版式 (包括网络呈现版式) 排版后的稿件, 可暂不确定出版年、卷、期和页码。整期汇编定稿指出版年、卷、期、页码均已确定的印刷或数字出版的整期汇编稿件。录用定稿网络首发稿件内容必须符合《出版管理条例》和《期刊出版管理规定》的有关规定; 学术研究成果具有创新性、科学性和先进性, 符合编辑部对刊文的录用要求, 不存在学术不端行为及其他侵权行为; 稿件内容应基本符合国家有关书刊编辑、出版的技术标准, 正确使用和统一规范语言文字、符号、数字、外文字母、法定计量单位及地图标注等。为确保录用定稿网络首发的严肃性, 录用定稿一经发布, 不得修改论文题目、作者、机构名称和学术内容, 只可基于编辑规范进行少量文字的修改。

出版确认: 纸质期刊编辑部通过与《中国学术期刊 (光盘版)》电子杂志社有限公司签约, 在《中国学术期刊 (网络版)》出版传播平台上创办与纸质期刊内容一致的网络版, 以单篇或整期出版形式, 在印刷出版之前刊发论文的录用定稿、排版定稿、整期汇编定稿。因为《中国学术期刊 (网络版)》是国家新闻出版广电总局批准的网络连续型出版物 (ISSN 2096-4188, CN 11-6037/Z), 所以签约期刊的网络版上网络首发论文视为正式出版。

基于定制内点法的多无人机协同轨迹规划

王祝¹ 徐广通² 龙腾²

摘要 为了提高多无人机协同轨迹规划效率,在解耦序列凸优化方法基础上,提出一种高效求解凸优化子问题的定制内点法。首先引入松弛变量,构建子问题的等价描述形式,并推导该形式下的子问题最优性条件。然后在预测-校正原对偶内点法的框架下,构建一套高效求解最优性条件方程组的计算流程以降低子问题计算复杂度,并利用约束矩阵特征提出一种快速计算原对偶搜索方向的方法以提高规划效率。仿真结果表明,在解耦序列凸优化框架下,定制内点法可将协同轨迹规划耗时降低一个数量级,达到秒级。

关键词 轨迹规划, 多无人机, 凸优化, 内点法

引用格式 王祝, 徐广通, 龙腾. 基于定制内点法的多无人机协同轨迹规划. 自动化学报

DOI 10.16383/j.aas.c200361

Customized Interior-Point Method for Cooperative Trajectory Planning of Unmanned Aerial Vehicles

WANG Zhu¹ XU Guang-Tong² LONG Teng²

Abstract To improve the efficiency of cooperative trajectory planning (CTP) for multiple unmanned aerial vehicles (UAVs), a customized interior-point method is proposed for efficiently solving convex subproblems within the decoupled sequential convex programming (SCP) method. Firstly, slack variables are introduced to construct an equivalent form of the subproblem, and the optimality conditions of the subproblem in this equivalent form are derived. Then, under the frame of the predictor-corrector primal-dual interior-point method, an efficient computation procedure for solving the equations of optimality conditions is developed. And through exploring the matrix characteristics of constraints to reduce the complexity of solving subproblems, a fast generation method for primal-dual search direction is proposed to improve the planning efficiency. Simulation results demonstrate that the customized interior-point method can decrease the computation times of CTP by one order of magnitude to several seconds.

Key words Trajectory planning, multiple unmanned aerial vehicles, convex programming, interior-point method

Citation Wang Zhu, Xu Guang-Tong, Long Teng. Customized interior-point method for cooperative trajectory planning of unmanned aerial vehicles. *Acta Automatica Sinica*

多无人机协同通过功能互补和能力叠加等方式能提高任务完成效能,已成为无人

机应用的重要发展趋势^[1],协同轨迹规划则是系统关键技术之一。

针对轨迹规划存在的非线性、约束多、变量维度高等计算复杂难题,近年来序列凸优化(Sequential Convex Programming, SCP)方法受到研究关注^[2]。SCP利用凸优化算法具有迭代计算上界和多项式时间复杂度^[3]的特点,通过求解一系列凸优化子问题^[4],可快速获得原非凸问题的局部最优解,其优势已在不同轨迹规划领域得到验证。相比基于采样的轨迹规划方法,SCP具有更强的高维求解能力且无需进行光滑处理^[5-6];相比伪谱法,SCP能够在不降低优化性能的条件下极

收稿日期 2020-05-27 收修改稿日期 2020-10-08
Manuscript received May 27, 2020; in revised form October 8, 2020

国家自然科学基金(61903033),中央高校基本科研业务费专项资金(2020MS116),中国博士后科学基金(2018M631361)资助

Supported by National Natural Science Foundation of China (61903033), Fundamental Research Funds for the Central Universities (2020MS116), China Postdoctoral Science Foundation (2018M631361)

1. 华北电力大学河北省发电过程仿真与优化控制技术创新中心 保定 071003 2. 北京理工大学宇航学院 北京 100081

1. Hebei Technology Innovation Center of Simulation & Optimized Control for Power Generation, North China Electric Power University, Baoding 071003 2. School of Aerospace Engineering, Beijing Institute of Technology, Beijing 100081

大提高求解效率^[7-8]；相比启发式算法，SCP 具有更好的寻优和收敛能力^[9-10]。

在协同轨迹规划研究方面，文献[11]首次将 SCP 应用于四旋翼飞行器协同轨迹规划，文献[12]进一步提出增量 SCP 以提高算法收敛速度。Morgan 等^[13]提出分散 SCP 以快速生成集群重构轨迹，并基于四旋翼完成了试验验证。针对固定翼无人机，文献[14]提出一种罚函数 SCP 方法实现了多机协同轨迹规划，文献[15]提出一种解耦 SCP 方法，通过并行求解降低了算法耗时随无人机数量的增长程度。

虽然 SCP 相比于传统轨迹规划方法具有效率优势，但固定翼无人机编队轨迹规划仍需数十秒^[14-16]，难以满足动态规划需求。对此，本文在 SCP 基础上，从子问题求解性能角度开展研究，通过定制凸优化算法降低子问题优化耗时，从而提高规划效率。

凸优化子问题一般采用 SeDuMi^[17]和 Mosek^[18]等工具包求解，但工具包为保证稳定性需增加额外运算成本，同时难以针对具体问题设计高效求解过程。已有的内点法定制研究表明，通过算法定制能够显著提高凸优化效率。Dueri 等^[19]对火箭回收轨迹规划进行内点法定制，实现了轨迹实时规划，并完成了试验验证。Xu 等^[20]通过定制稀疏内点法，将单个四旋翼轨迹规划耗时控制在 1s 以内。但是，定制算法不具有广泛通用性，例如针对火箭或四旋翼轨迹规划的定制内点法无法直接应用于固定翼无人机。根据文献调研，尚无针对单架或多架固定翼无人机轨迹规划的定制凸优化算法。

固定翼无人机的动力学呈非线性，同时多无人机系统还需考虑机间协同约束，都增加了轨迹规划复杂度。对此，本文在解耦 SCP^[15]的架构下，研究子问题求解的定制内点法，通过减少单次凸优化耗时，进一步提升多无人机协同轨迹规划效率。

1 问题建模

多无人机协同轨迹规划需要根据每架无人机的起始点和目标点，考虑运动方程、终端条件、边界条件、避障和避碰等约束，

以最小化时间或能量等为性能指标，为所有无人机生成可行的飞行轨迹。

本文以时间最短为目标，将无人机协同轨迹规划建模为下述最优控制问题 P1^[15]：

$$\begin{aligned} \text{P1: } & \min_{s_i(t), u_i(t), t_f, i=1,2,\dots,N} t_f \\ \text{s. t. } & \forall i = 1, 2, \dots, N, \forall j = 1, 2, \dots, N, \\ & \forall m = 1, 2, \dots, M \\ & \dot{s}_i = f(s_i, u_i, t) \\ & s_i(t_0) = s_{i,0}, \\ & s_i(t_f) = s_{i,f} \\ & s_{\min} \leq s_i(t) \leq s_{\max} \\ & u_{\min} \leq u_i(t) \leq u_{\max} \\ & \|C \cdot s_i(t) - p_{\text{obs},m}\|_2 \geq r_m \\ & \|C \cdot [s_i(t) - s_j(t)]\|_2 \geq R, i \neq j \end{aligned} \quad (1)$$

其中，下标 i 表示无人机编号；下标 0 表示变量初始时刻值；下标 f 表示变量终端时刻值； N 为无人机数量； t 为飞行时间； s_i 表示无人机 i 的状态量且 $s_i = (x_i, y_i, h_i, V_i, \chi_i, \gamma_i)^T$ ； s_{\max} 和 s_{\min} 为状态量上下限； u_i 表示无人机 i 的控制量且 $u_i = (n_{x,i}, n_{y,i}, n_{z,i})^T$ ； u_{\max} 和 u_{\min} 为控制量上下限； $p_{\text{obs},m}$ 和 r_m 为障碍 m 的位置和半径； M 表示障碍数量； $C=[I_{2 \times 2}, 0_{4 \times 4}]$ ； R 为机间避碰安全距离。

图 1 给出了多无人机协同轨迹规划问题及部分参数的示意图。

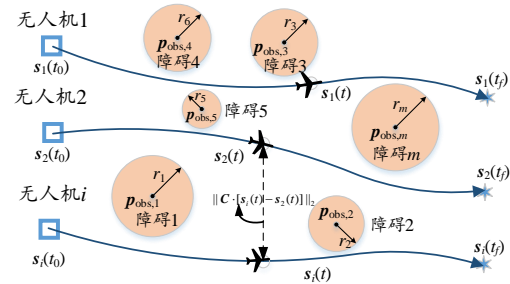


图 1 多无人机协同轨迹规划问题示意图

Fig.1 Illustration of multi-UAV cooperative trajectory planning problems

问题 P1 中各式的意义可参见文献[15]和[16]。其中，运动方程 $\dot{s}_i = f(s_i, u_i, t)$ 的表达式^[15]如式(2)所示。其中， (x, y) 为水平位置； h 为高度； v 为速度； χ 为航向角； γ 为航迹倾角； g 为重力加速度值； n_x 、 n_y 和 n_z 分别为无人机在切向、水平、铅垂方向的过载。

$$\begin{cases} \dot{x}_i = v_i \cos \gamma_i \cos \chi_i \\ \dot{y}_i = v_i \cos \gamma_i \sin \chi_i \\ \dot{h}_i = v_i \sin \gamma_i \\ \dot{v}_i = g \cdot (n_{x,i} - \sin \gamma_i) \\ \dot{\chi}_i = g \cdot n_{y,i} / (v_i \cos \gamma_i) \\ \dot{\gamma}_i = g \cdot (n_{z,i} - \cos \gamma_i) / v_i \end{cases} \quad (2)$$

2 解耦 SCP 方法

针对式(1)所述的最优控制问题, 文献[15]给出了一种解耦 SCP 求解架构。本文在该架构的基础上, 聚焦凸优化子问题的定制内点法研究。考虑论文完整性, 本节对解耦 SCP 方法进行简述。

基于 SCP 的无人机轨迹规划步骤可概括为: (1) 采用配点法将最优控制问题转化为非凸优化问题; (2) 利用约束凸化构建一系列凸优化子问题; (3) 通过迭代求解凸优化子问题, 获得非凸优化问题的解, 即最优控制问题的数值近似解。

在 SCP 基础上, 解耦 SCP 进一步针对协同规划问题, 利用轨迹冻结思想和协调约束机制, 将关于多机轨迹的一个优化问题解耦为一组优化问题, 解耦后每个问题的优化变量仅为一架无人机的轨迹, 且解耦问题支持并行求解, 提高了协同轨迹规划效率。解耦 SCP 方法的求解架构如图 2 所示。

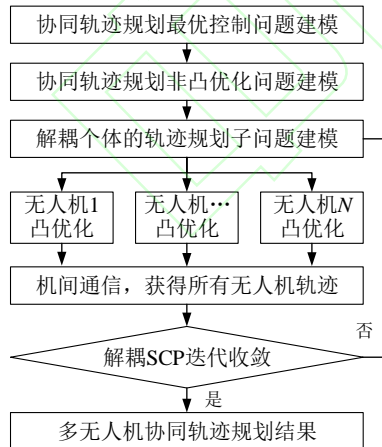


图2 解耦 SCP 方法架构

Fig.2 Frame of decoupled SCP method

针对式(1)所述的问题 P1, 利用梯形积分和约束凸化, 并引入罚函数和信赖域, 可

构建解耦 SCP 需多无人机并行迭代求解的凸优化子问题 P2^[15], 如下所示。

$$\begin{aligned} P2: \min_{z_i} \quad & \Delta t_i + \mu \cdot \sum_{l=1}^{n_{eq}} |h_l(z_i)| \\ & + \mu \cdot \sum_{l=1}^{n_{in}} \max(g_l(z_i), 0) \quad (3) \\ \text{s. t.} \quad & |s_i[k] - \bar{s}_i[k]| \leq \rho, k = 1, \dots, K \end{aligned}$$

其中, $z_i \in R^{n_z \times 1}$ 为无人机 i 的轨迹优化变量, 如式(4)所示, n_z 表示优化变量维度; Δt 为离散时间步长; μ 为罚系数; n_{eq} 和 n_{in} 分别为等式和不等式约束的数量; $h_l, l = 1, 2, \dots, n_{eq}$ 表示离散的等式凸约束, 即式(5)-(7), 其中 \tilde{A} 、 \tilde{B} 、 \tilde{C} 、 \tilde{D} 为运动方程线性化后的系数矩阵, 具体表达式见文献[15]; $g_l, l = 1, 2, \dots, n_{in}$ 表示离散的不等式凸约束, 即式(8)-(12), 其中 Δt 为凸化时的基准步长, Π_i 为无人机 i 需规避的其它无人机集合; ρ 为信赖域半径; k 为离散时刻; K 为离散区间数量; \bar{s} 为约束凸化时的基准状态。

$$z_i = (s_i^T[0], \dots, s_i^T[K], u_i^T[0], \dots, u_i^T[K], \Delta t_i)^T \quad (4)$$

$$\begin{aligned} & \tilde{A}_{k+1} \cdot s_i[k+1] + \tilde{A}_k \cdot s_i[k] + \tilde{B}_{k+1} \cdot u_i[k+1] \\ & + \tilde{B}_k \cdot u_i[k] + (\tilde{C}_k + \tilde{C}_{k+1}) \Delta t + \tilde{D}_k \\ & + \tilde{D}_{k+1} = 0, \quad k = 0, 1, \dots, K-1 \end{aligned} \quad (5)$$

$$s_i[0] = s_{i,0} \quad (6)$$

$$s_i[K] = s_{i,f} \quad (7)$$

$$s_{\min} \leq s_i[k] \leq s_{\max}, k = 0, 1, \dots, K \quad (8)$$

$$u_{\min} \leq u_i[k] \leq u_{\max}, k = 0, 1, \dots, K \quad (9)$$

$$\Delta t_i \geq \max_{i \in \{1, 2, \dots, N\}} (\bar{\Delta t}_i) \quad (10)$$

$$\frac{(C \cdot \bar{s}_i[k] - p_{\text{obs},m})^T C (s_i[k] - \bar{s}_i[k])}{\|C \cdot \bar{s}_i[k] - p_{\text{obs},m}\|} \quad (11)$$

$$\begin{aligned} & \geq r_m - \|C \cdot \bar{s}_i[k] - p_{\text{obs},m}\| \\ & \frac{(C(\bar{s}_i[k] - \bar{s}_j[k]))^T \cdot (C(s_i[k] - \bar{s}_i[k]))}{\|C(\bar{s}_i[k] - \bar{s}_j[k])\|} \\ & \geq R - \|C(\bar{s}_i[k] - \bar{s}_j[k])\|, \quad j \in \Pi_i \end{aligned} \quad (12)$$

3 子问题最优性条件

为了开展内点法定制研究, 本节首先构建子问题的一种等价描述形式, 然后基于最优化理论构建该形式下的结果最优性条件。

3.1 凸优化子问题的等价描述形式

为了方便表述和推导, 将问题 P2 罚函数中的所有等式约束统一表示为式(13), 包括运动约束式(5)和终端约束式(6)-(7), 其中 z_i 被简记为 z 。

$$A_{eq} \cdot z = b_{eq} \quad (13)$$

其中, $A_{eq} \in R^{n_{eq} \times n_z}$ 和 $b_{eq} \in R^{n_{eq} \times 1}$ 表示等式约束的系数矩阵和右端项, 可根据式(5)-(7)获得。

将不等式约束统一表示为式(14), 包括边界约束式(8)-(10)、避障约束式(11)和避碰约束式(12);

$$A_{in} \cdot z \leq b_{in} \quad (14)$$

其中, $A_{in} \in R^{n_{in} \times n_z}$ 和 $b_{in} \in R^{n_{in} \times 1}$ 表示不等式约束的系数矩阵和右端项向量, 可根据式(8)-(12)获得。

将信赖域表示为式(15), 其中 $A_{tr} \in R^{n_{tr} \times n_z}$ 和 $b_{tr} \in R^{n_{tr} \times 1}$ 表示信赖域约束的系数矩阵和右端项向量, n_{tr} 为信赖域约束数量。

$$A_{tr} \cdot z \leq b_{tr} \quad (15)$$

由于凸优化子问题 P2 的约束式(6)-(12)均具有线性特征, 因此上述表述是可行的。在此约束表示形式下, 凸优化子问题 P2 可表示为:

$$P3: \min_z q^T \cdot z + \mu \cdot \sum_{l=1}^{n_{eq}} |A_{eq,l} \cdot z - b_{eq,l}| + \mu \cdot \sum_{l=1}^{n_{in}} \max(0, A_{in,l} \cdot z - b_{in,l}) \quad (16)$$

$$\text{s.t. } A_{tr} \cdot z \leq b_{tr}$$

其中, 下标 l 表示取矩阵或向量第 l 行; 且

$$q = (0_{1 \times (n_z-1)}, 1)^T \quad (17)$$

针对问题 P3 中的约束罚函数, 分别引入松弛向量 $\alpha \in R^{n_{eq} \times 1}$ 和 $\beta \in R^{n_{in} \times 1}$, 并满足:

$$|A_{eq,l} \cdot z - b_{eq,l}| \leq \alpha_l, l = 1, 2, \dots, n_{eq} \quad (18)$$

$$\max(0, A_{in,l} \cdot z - b_{in,l}) \leq \beta_l, l = 1, 2, \dots, n_{in} \quad (19)$$

则凸优化子问题可进一步等价表示为下述仅含有不等式约束的线性规划问题 P4。

$$P4: \min_X g^T \cdot X \quad (20)$$

$$\text{s.t. } A \cdot X \leq b$$

其中, $g \in R^{n_X \times 1}$ 、 $X \in R^{n_X \times 1}$ 、 $A \in R^{n_A \times n_X}$ 和 $b \in R^{n_A \times 1}$ 的表达式如下所示:

$$g = (q^T, I_{1 \times n_{eq}}, I_{1 \times n_{in}})^T, \quad X = (z^T, \alpha^T, \beta^T)^T \quad (21)$$

$$A = \begin{bmatrix} A_{tr} & 0_{n_{tr} \times n_{eq}} & 0_{n_{tr} \times n_{in}} \\ A_{eq} & -I_{n_{eq} \times n_{eq}} & 0_{n_{eq} \times n_{in}} \\ -A_{eq} & -I_{n_{eq} \times n_{eq}} & 0_{n_{eq} \times n_{in}} \\ A_{in} & 0_{n_{in} \times n_{eq}} & -I_{n_{in} \times n_{in}} \\ 0 & 0_{n_{in} \times n_{eq}} & -I_{n_{in} \times n_{in}} \end{bmatrix}, \quad b = \begin{bmatrix} b_{tr} \\ b_{eq} \\ -b_{eq} \\ b_{in} \\ 0 \end{bmatrix} \quad (22)$$

其中, 变量 X 维度 n_X 和约束数量 n_A 为:

$$n_X = n_z + n_{eq} + n_{in} \quad (23)$$

$$n_A = n_{tr} + 2n_{eq} + 2n_{in}$$

3.2 凸优化子问题的最优性条件

针对式(20)所示的不等式约束线性规划问题 P4, 其拉格朗日函数 $\mathcal{L}(X, \lambda)$ 可表示为:

$$\mathcal{L}(X, \lambda) = g^T \cdot X + \sum_{l=1}^{n_A} \lambda_l (A \cdot X - b)_l \quad (24)$$

其中, $\lambda \in R^{n_A \times 1}$ 表示约束的拉格朗日乘子。

根据凸优化理论的 Karush-Kuhn-Tucker 条件^[3], 问题 P4 的最优性条件可表示为

$$\begin{aligned} \nabla \mathcal{L}_X(X, \lambda) = 0 &\Rightarrow g + A^T \cdot \lambda = 0 \\ A \cdot X - b &\leq 0 \\ \forall l = 1, 2, \dots, n_A, \lambda_l (A \cdot X - b)_l &= 0 \\ \lambda &\geq 0 \end{aligned} \quad (25)$$

引入辅助变量 $s = -(A \cdot X - b)$, 可将上述最优性条件等价表示为

$$\begin{aligned} g + A^T \cdot \lambda &= 0 \\ s + A \cdot X - b &= 0 \\ \forall l = 1, 2, \dots, n_A, s_l \lambda_l &= 0 \\ (s, \lambda) &\geq 0 \end{aligned} \quad (26)$$

针对式(26)给出的子问题最优性条件, 利用数值算法对该非线性方程组进行迭代求解, 即可获得问题 P4 的最优解, 即凸优化子问题 P2 的最优解。

4 内点法定制

本节针对凸优化子问题的最优性条件方程组, 定制高效的内点法以降低子问题优化的计算复杂度, 进而提高原协同轨迹规划问题的求解效率。

4.1 预测-校正原对偶内点法框架

本文定制内点法的框架沿用文献[21]提出的预测-校正原对偶内点法, 其流程如图 3

所示,包括初始化、预测步、校正步、搜索点更新、收敛判断等。

在预测-校正原对偶内点法的每次迭代中,搜索点的更新需考虑预测步和校正步。其中,预测步通过求解牛顿系统计算仿射方向和步长;校正步则利用仿射搜索信息对牛顿系统进行高阶修正,然后求解获得校正搜索方向和步长,以实现沿中心路径快速搜索最优解。

中心路径为严格可行点构成的一条曲线^[21],其定义如式(27)所示。

$$F(X, \lambda, s) = \begin{bmatrix} 0 \\ 0 \\ \tau e \end{bmatrix} \quad (27)$$

其中, τ 为中心路径参数。 $F(X, \lambda, s)$ 可根据式(26)表示为

$$F(X, \lambda, s) = \begin{bmatrix} g + A^T \cdot \lambda \\ s + A \cdot X - b \\ S \Lambda e \end{bmatrix} \quad (28)$$

其中, $\Lambda = \text{diag}(\lambda)$, $S = \text{diag}(s)$, $e = (1, 1, \dots, 1)^T$ 。

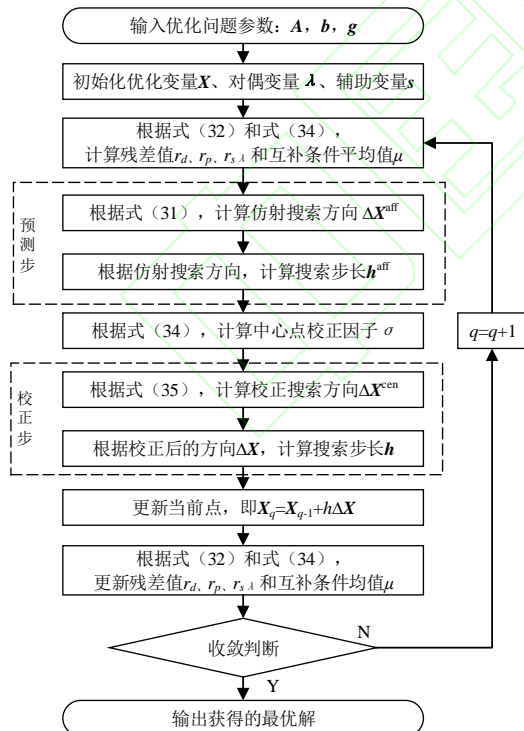


图3 原对偶内点法计算框架

Fig.3 Frame of primal-dual interior-point method

4.2 原对偶搜索方向计算公式

在预测-校正原对偶内点法中,搜索方向 ΔX 由预测步搜索方向 ΔX^{aff} 和中心校正方向 ΔX^{cen} 构成,如下式^[21]所示:

$$\Delta X = \Delta X^{\text{aff}} + \Delta X^{\text{cen}} \quad (29)$$

其中,上标 aff 表示预测步的参数取值,上标 cen 表示校正步的参数取值。 ΔX^{aff} 和 ΔX^{cen} 的计算方法如下所述。

(1) 预测步搜索方向

在预测步,直接利用牛顿法计算迭代方向,即计算函数 $F(X, \lambda, s)$ 的雅可比矩阵 $J(X, \lambda, s)$, 构建非线性方程组的牛顿系统,如下所示:

$$J(X_q, \lambda_q, s_q) \begin{bmatrix} \Delta X_q \\ \Delta \lambda_q \\ \Delta s_q \end{bmatrix} = -F(X_q, \lambda_q, s_q) \quad (30)$$

其中,下标 q 表示内点法中当前的迭代步数。

因此,预测步的搜索方向 ΔX^{aff} 可根据下式计算得到。

$$\begin{bmatrix} 0 & A^T & 0 \\ A & 0 & I \\ 0 & S & \Lambda \end{bmatrix} \begin{bmatrix} \Delta X^{\text{aff}} \\ \Delta \lambda^{\text{aff}} \\ \Delta s^{\text{aff}} \end{bmatrix} = - \begin{bmatrix} r_d \\ r_p \\ r_{s, \lambda} \end{bmatrix} \quad (31)$$

其中, $\Delta \lambda$ 和 Δs 表示拉格朗日乘子 λ 和辅助变量 s 对应的搜索方向;右端项的对偶残差 r_d 、原残差和互补残差 $r_{s, \lambda}$ 可将第 q 次迭代步的值 (X_q, λ_q, s_q) 代入式(28)计算得到:

$$\begin{bmatrix} r_d \\ r_p \\ r_{s, \lambda} \end{bmatrix} = \begin{bmatrix} g + A^T \cdot \lambda_q \\ s_q + A \cdot X_q - b \\ S_q \Lambda_q e \end{bmatrix} \quad (32)$$

(2) 校正步搜索方向

预测搜索方向是对非线性系统线性化计算得到的仿射方向,为了使迭代能够贴近中心路径和加快迭代收敛,增加校正步以修正仿射搜索方向。

由于式(26)的前两项均为仿射方程,因此校正步仅需对最优条件的第三项进行校正,校正后的互补残差 $r'_{s, \lambda}$ 可表示为:

$$-r'_{s, \lambda} = -r_{s, \lambda} - \Delta s^{\text{aff}} \Delta \Lambda^{\text{aff}} e + \sigma \mu e \quad (33)$$

其中, $\sigma \in (0, 1)$ 为中心校正因子, μ 为互补条件均值,其表达式为

$$\sigma = (\mu^{\text{aff}} / \mu)^3, \quad \mu = \lambda^T s / n_A \quad (34)$$

基于校正后的残差值, 校正步的搜索方向 $\Delta \mathbf{X}^{cen}$ 可根据下式进行计算:

$$\begin{bmatrix} 0 & A^T & 0 \\ A & 0 & I \\ 0 & S & \Lambda \end{bmatrix} \begin{bmatrix} \Delta \mathbf{X}^{cen} \\ \Delta \lambda^{cen} \\ \Delta \mathbf{s}^{cen} \end{bmatrix} = - \begin{bmatrix} r_d \\ r_p \\ r'_{s\lambda} \end{bmatrix} \quad (35)$$

4.3 原对偶搜索方向快速计算方法

为了获得原对偶搜索方向, 预测步和校正步需要分别求解式(31)和式(35)所示的非线性方程组, 本小节针对方程特点, 定制搜索方向的快速计算方法。

(1) 逐次消元求解搜索方向

若直接对方程组的左端矩阵进行求逆, 由于矩阵非对称且不正定, 迭代过程中容易发生矩阵奇异, 导致内点法迭代难以收敛。

对此, 本研究通过逐次消元推导, 定制非线性方程组的求解步骤, 避免求解过程出现非对称矩阵求逆运算, 而且变量逐次求解可以降低计算复杂性。

针对预测步搜索方向的计算, 首先根据式(31)的第三行, 推导可得

$$\Delta \mathbf{s}^{aff} = -\Lambda^{-1} \cdot r_{s\lambda} - \Lambda^{-1} \cdot S \cdot \Delta \lambda^{aff} \quad (36)$$

将上式与式(31)第二行结合, 消去 $\Delta \mathbf{s}^{aff}$ 可得

$$\Delta \lambda^{aff} = (S^{-1} \cdot \Lambda) \cdot (A \cdot \Delta \mathbf{X}^{aff} + r_p - \Lambda^{-1} \cdot r_{s\lambda}) \quad (37)$$

再将上式与式(31)第一行结合, 消去 $\Delta \lambda^{aff}$ 可得

$$\Delta \mathbf{X}^{aff} = [A^T (S^{-1} \cdot \Lambda) \cdot A]^{-1} \cdot [-r_d - A^T \cdot S^{-1} \cdot (\Lambda \cdot r_p - r'_{s\lambda})] \quad (38)$$

通过上述推导, 将根据式(31)对变量同时求解的方式转换为依次根据式(38)、(37)和(36)求解 $\Delta \mathbf{X}^{aff}$ 、 $\Delta \lambda^{aff}$ 和 $\Delta \mathbf{s}^{aff}$ 。

采用相同的消元方式, 可以得到校正步的计算公式, 如下所示:

$$\Delta \mathbf{X}^{cen} = [A^T (S^{-1} \cdot \Lambda) \cdot A]^{-1} \cdot [-r_d - A^T \cdot S^{-1} \cdot (\Lambda \cdot r_p - r'_{s\lambda})] \quad (39)$$

$$\Delta \lambda^{cen} = (S^{-1} \cdot \Lambda) \cdot (A \cdot \Delta \mathbf{X} + r_p - \Lambda^{-1} \cdot r'_{s\lambda})$$

$$\Delta \mathbf{s}^{cen} = -\Lambda^{-1} \cdot r'_{s\lambda} - \Lambda^{-1} \cdot S \cdot \Delta \lambda$$

(2) 基于 LDL 分解降低计算复杂度
依据前述的消元逐次求解方法, 原对偶

搜索方向的计算量主要在 $A^T (S^{-1} \cdot \Lambda) \cdot A$ 的求逆运算。由于 S 和 Λ 均为对角矩阵, 所以 $S^{-1} \cdot \Lambda$ 为对角矩阵。结合式(22)中 A 的表达式, 可将 $S^{-1} \cdot \Lambda$ 表示为

$$S^{-1} \cdot \Lambda = \begin{bmatrix} D_1 & & & & \\ & D_2 & & & \\ & & D_3 & & \\ & & & D_4 & \\ & & & & D_5 \end{bmatrix} \quad (40)$$

其中, $D_1 \in R^{n_{tr} \times n_{tr}}$ 、 $D_2 \in R^{n_{eq} \times n_{eq}}$ 、 $D_3 \in R^{n_{eq} \times n_{eq}}$ 、 $D_4 \in R^{n_{in} \times n_{in}}$ 和 $D_5 \in R^{n_{in} \times n_{in}}$ 均为对角矩阵。

根据式(22), 计算可得 $A^T (S^{-1} \cdot \Lambda) \cdot A$ 为:

$$A^T (S^{-1} \cdot \Lambda) \cdot A = \begin{bmatrix} \Gamma_{11} & \Gamma_{12} & \Gamma_{13} \\ \Gamma_{12}^T & D_2 + D_3 & 0 \\ \Gamma_{13}^T & 0 & D_4 + D_5 \end{bmatrix} \quad (41)$$

其中,

$$\begin{aligned} \Gamma_{11} &= A_{tr}^T D_1 A_{tr} + A_{eq}^T D_2 A_{eq} \\ &\quad + A_{eq}^T D_3 A_{eq} + A_{in}^T D_4 A_{in} \end{aligned} \quad (42)$$

$$\Gamma_{12} = A_{eq}^T (D_3 - D_2)$$

$$\Gamma_{13} = -A_{in}^T D_4$$

对于多无人机协同轨迹规划问题, 由式(5)-(12)可知, 矩阵 A_{eq} 、 A_{in} 和 A_{tr} 均为稀疏矩阵, 其中 A_{eq} 为分块双对角与列向量组合的形式, 如式(43)所示。 A_{in} 中的避障约束、避碰约束、状态边界约束以及信赖域约束系数矩阵 A_{tr} 均为分块对角矩阵, 例如信赖域约束的左端项系数矩阵形式如式(44)所示。

$$A_{eq} = \begin{bmatrix} A_{0,0} & & & & & a_0 \\ A_{1,0} & A_{1,1} & & & & a_1 \\ & A_{2,1} & A_{2,2} & & & a_2 \\ & & \ddots & \ddots & & \vdots \\ & & & A_{K,K-1} & A_{K,K} & a_K \\ & & & & A_{K+1,K} & a_{K+1} \end{bmatrix} \quad (43)$$

$$A_{tr} = \begin{bmatrix} A_0 & & & \\ & A_1 & & \\ & & \ddots & \\ & & & A_K \end{bmatrix} \quad (44)$$

同时, 考虑到矩阵 D_1, D_2, \dots, D_5 均为对角矩阵, 因此, $A^T (S^{-1} \cdot \Lambda) \cdot A$ 为稀疏的

对称矩阵。对此,可以采用稀疏矩阵的 LDL 分解^[22],即

$$P \cdot (A^T (S^{-1} \cdot \Lambda) \cdot A) \cdot P^T = L \cdot D \cdot L^T \quad (45)$$

其中, P 为排列矩阵, L 为单位下三角矩阵, D 为分块对角阵。则式(38)可以转化为:

$$\begin{aligned} & (P^T \cdot L \cdot D \cdot L^T \cdot P) \cdot \Delta X^{\text{aff}} \\ &= [-r_d - A^T \cdot S^{-1} \cdot (\Lambda \cdot r_p - r_{s\lambda})] \end{aligned} \quad (46)$$

从而,可将求解搜索方向 ΔX^{aff} 转化为求解一系列低计算成本的方程,计算过程如式(47)所示。而且计算校正搜索方向 ΔX^{cen} 时,可用同样的方法降低计算成本。

$$\begin{aligned} L \cdot u &= P \cdot [-r_d - A^T S^{-1} (\Lambda \cdot r_p - r_{s\lambda})] \Rightarrow u \\ D \cdot v &= u \Rightarrow v \\ L^T \cdot w &= v \Rightarrow w \\ P \cdot \Delta X^{\text{aff}} &\Rightarrow \Delta X^{\text{aff}} \end{aligned} \quad (47)$$

为了说明定制方法计算搜索方向的优势,以浮点运算次数为统计指标,对下述三种方式的计算复杂度进行定量分析:方法 I (即定制方法)通过 LDL 分解计算 ΔX ,再依次计算 $\Delta \lambda$ 和 Δs ;方法 II 以求逆方式求解式(38),再计算 $\Delta \lambda$ 和 Δs ;方法 III 直接以求逆方式求解式(31)。三种方法的计算成本如表 1 所示,其中 n_x 和 n_A 的表达式见式(23)。

表 1 原对偶搜索方向计算复杂度

Table 1 Computation complexity for primal-dual search direction

计算方法	计算成本
方法 I	$0.33 n_x^3 + 3 n_A^3 + n_x^2 n_A + n_x n_A^2$
方法 II	$2.67 n_x^3 + 3 n_A^3 + n_x^2 n_A + n_x n_A^2$
方法 III	$2.67 (n_x + 2 n_A)^3$

图 4 给出了三种搜索方向生成方法的计算复杂度随变量维度 n_x 和约束数量 n_A 的变化情况。由表 1 和图 4 可见,本文提出的定制方法通过消元逐次计算(比较方法 III 和 II)和 LDL 分解(比较方法 II 和 I)减少了原对偶搜索方向的计算复杂度,从而可以降低子问题优化成本。

另外,上述定制算法利用数值特征降低子问题的计算成本,并不会改变原对偶内点法或 SCP 协同轨迹规划的收敛性,其收敛性分析可参考文献[4]和文献[23-24]。

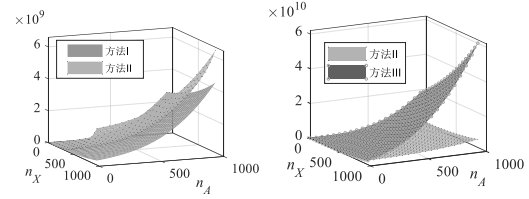


图 4 原对偶搜索方向计算复杂度变化图

Fig.4 Variations of computation complexity for primal-dual search direction

5 仿真试验

本节通过数值仿真试验,在解耦 SCP 协同轨迹规划架构下,验证定制内点法的有效性,并将定制内点法与一般内点法进行对比,验证定制内点法的性能优势。

5.1 仿真环境与想定

数值仿真试验在 Windows 7 中的 Matlab 2016a 下进行,硬件环境为 Intel Core i5-2310@2.90GHz 处理器和 4GB 内存的 PC 机。凸优化子问题分别利用定制内点法和 SeDuMi^[17]进行对比求解。SeDuMi 是广泛应用于 Matlab 环境的一种凸优化工具包,其中采用了基本的预测校正原对偶内点法,因此将其作为对比算法以验证本文方法的性能。

采用文献[15]的仿真试验算例,考虑 7 架无人机所构编队的集结和重构任务,对本文提出的定制内点法进行测试验证。无人机起始点、目标点和障碍的水平位置见仿真结果图,无人机的起始点和目标点高度均设为 400m,障碍半径均设为 400m。编队飞行过程中,无人机间的防撞安全距离设为 100m。

无人机初始时刻和终端时刻的速度、航向角和航迹倾角分别设为 35m/s, 0 和 0。无人机状态量和控制量的边界约束如下所示。

$$\begin{aligned} s_{i,\min} &= (-\infty, -\infty, 300\text{m}, 30\text{m/s}, -\infty, -5\pi/180) \\ s_{i,\max} &= (+\infty, +\infty, 500\text{m}, 40\text{m/s}, +\infty, +5\pi/180) \quad (48) \\ u_{i,\min} &= (-0.2, -0.2, 0.8)^T, u_{i,\max} = (0.2, 0.2, 1.2)^T \end{aligned}$$

针对上述编队集结和重构想定,SCP 算法相关参数设置如下所示。

$$\begin{aligned} K &= 40, \quad \mu = 1000, \\ \rho &= (4000\text{m}, 4000\text{m}, 100\text{m}, 20\text{m/s}, \pi, \pi/10)^T, \quad (49) \\ \varepsilon &= (0.1, 0.1, 0.05, 0.01, 0.05\pi/180, 0.01\pi/180)^T \end{aligned}$$

5.2 仿真结果与分析

(1) 定制内点法有效性测试

针对设定的 7 架无人机 (Unmanned Aerial Vehicle, UAV) 编队集结和重构任务, 基于定制内点法进行轨迹规划求解, 轨迹结果分别如图 5-图 6 和图 7-图 8 所示。由图可知, 定制内点法生成的无人机协同轨迹能够对飞行空间中的障碍进行有效规避, 并实现从初始点到给定集结点或队形重构点的平滑转移。距离目标点较近的无人机进行了绕远飞行, 以实现飞行时间协同。

图 9 和图 10 给出了编队飞行过程中无人机间最短距离的变化曲线。由图可知, 任意两架无人机间的距离始终大于设定的最小安全距离, 可见定制内点法生成的协同轨迹能够满足机间避碰约束, 实现空间协同。

因此, 在解耦 SCP 框架下, 采用定制内点法对凸优化子问题进行求解, 能够规划生成满足约束的无人机编队协同轨迹。

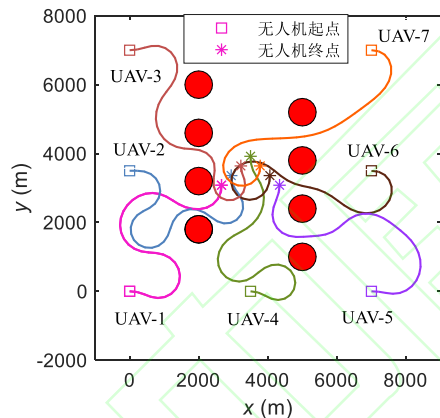


图 5 编队集结协同轨迹二维结果图
Fig.5 Cooperative trajectories in 2D for formation rendezvous

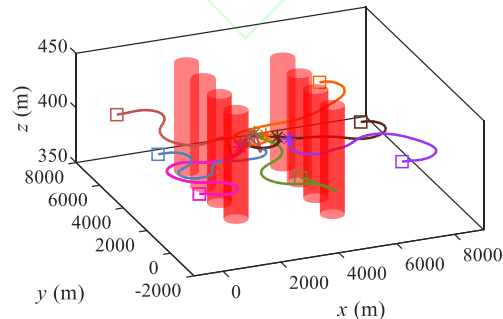


图 6 编队集结协同轨迹规划三维结果图
Fig.6 Cooperative trajectories in 3D for formation rendezvous

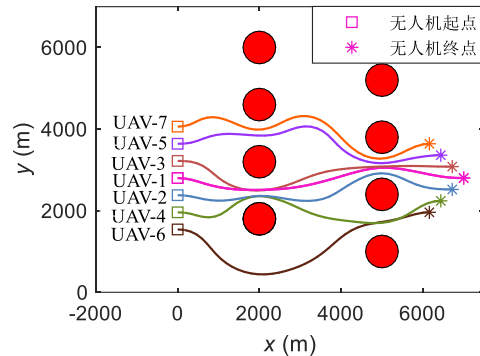


图 7 编队重构协同轨迹规划二维结果图
Fig.7 Cooperative trajectories in 2D for formation reconfiguration

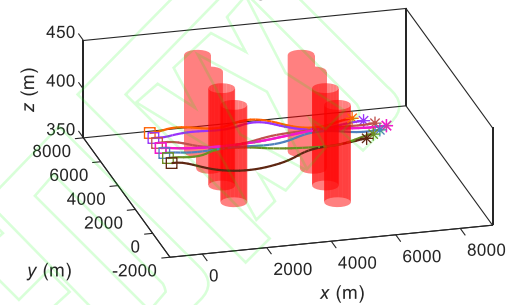


图 8 编队重构协同轨迹规划三维结果图
Fig.8 Cooperative trajectories in 3D for formation reconfiguration

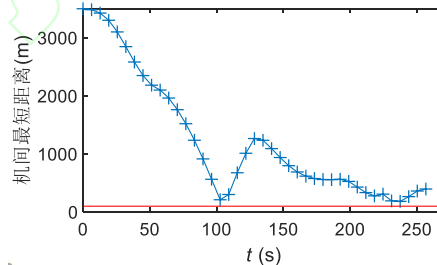


图 9 编队集结任务无人机间最短距离变化曲线
Fig.9 History of minimum distance between UAVs for formation rendezvous

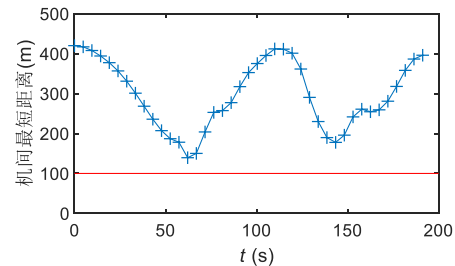


图 10 编队重构任务无人机间最短距离变化曲线
Fig.10 History of minimum distance between UAVs for formation reconfiguration

(2) 算法性能对比测试

在验证定制内点法有效性的基础上,开展算法对比仿真试验,比较定制内点法和 SeDuMi 工具包中一般内点法的轨迹规划性能。针对编队集结和重构任务,编队无人机数量由 1 逐渐增加至 7,子问题求解分别采用定制内点法和 SeDuMi,对获得的协同轨迹规划结果和计算耗时进行统计。

针对编队任务完成时间即飞行时间,定制内点法和 SeDuMi 优化得到的编队集结时间如图 11 所示,编队重构时间如图 12 所示。不同编队规模下,SeDuMi 获得的集结时间均值为 179.67 秒,定制内点法为 186.11 秒,两者相差约 3.6%; SeDuMi 获得的重构时间均值为 187.34 秒,定制内点法为 188.67 秒,两者相差约 0.7%。如式(1)所示,本文以任务完成时间最短为优化目标,因此定制内点法的寻优能力与 SeDuMi 基本相当。

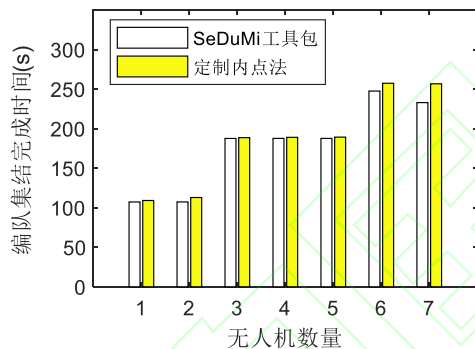


图 11 编队集结任务完成时间优化结果

Fig.11 Optimized completion time for formation rendezvous

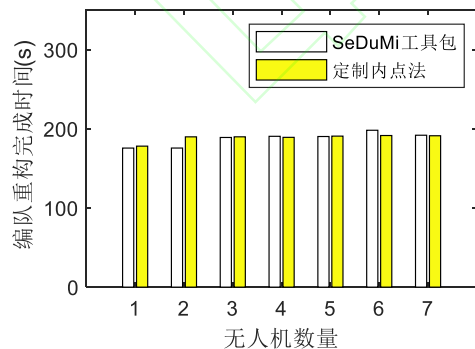


图 12 编队重构任务完成时间优化结果

Fig.12 Optimized completion time for formation reconfiguration

针对 7 机编队集结任务,图 13 和图 14 给出了 SeDuMi 和定制内点法规划结果对应的速度、高度和过载变化曲线。根据 7 机集结平均速度统计结果,SeDuMi 为 34.27m/s,定制内点法为 33.08m/s。这与图 11 中的 7 机集结时间结果相符,SeDuMi 所得集结时间(232.86s)少于定制方法(256.63s)。

对无人机集结过程中速度和高度的标准差进行计算,再统计获得编队的整体均值,其中 SeDuMi 结果为 1.78m/s 和 4.33m,定制内点法结果为 1.49m/s 和 2.36m。可见定制内点法生成轨迹的状态变化稍平滑,更易于轨迹跟踪控制,但两者差距不大。

对无人机过载的绝对值之和进行统计,该值可近似反映无人机控制能耗的大小关系。其中铅锤方向以 (n_z-1) 进行统计。根据统计,SeDuMi 所得协同轨迹的三轴过载绝对值之和为(3.77,33.04,0.91),定制内点法为(3.66,37.30,0.97)。可见,两种方法所生成轨迹对应的控制能耗大小相当,按定制内点法结果飞行所需的控制能耗略高。

图 15 和图 16 分别给出了 7 机编队重构想定下 SeDuMi 和定制内点法规划轨迹的速度、高度和过载变化曲线。SeDuMi 生成轨迹的编队平均速度为 35.71m/s,定制内点法则为 36.08m/s。根据图 12 的 7 机编队重构时间结果,SeDuMi 获得的重构时间(191.91s)相应地也大于定制内点法结果(191.24s)。

根据编队无人机速度标准差和高度标准差的均值统计结果,SeDuMi 为 1.02m/s 和 0.36m,定制内点法为 1.64m/s 和 0.34m。可见两种方法生成重构轨迹的平滑性相当,都变化不大,易于进行轨迹跟踪控制。

根据 7 机编队重构轨迹的过载统计结果,SeDuMi 生成轨迹对应的三轴过载绝对值之和为(1.41,13.84,0.16),定制内点法则为(2.72,18.60,0.33),可见定制内点法所得轨迹对应的控制能耗略高于 SeDuMi 所得轨迹。

综合编队集结和重构的试验结果及分析,在任务完成时间最优性、轨迹可实现性和轨迹控制能耗方面,定制内点法所得轨迹结果与 SeDuMi 结果基本相当,即两种方法在上述轨迹指标中相互不存在明显优势。

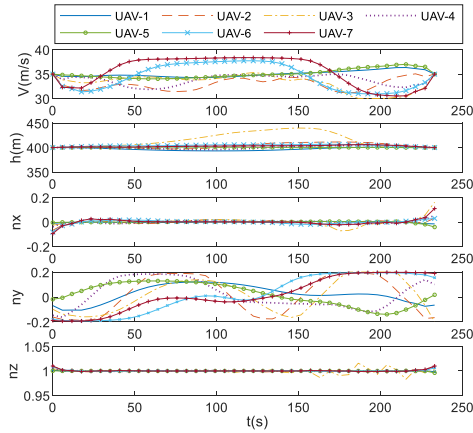


图 13 基于 SeDuMi 的编队集结轨迹规划结果

Fig.13 Trajectory planning results using SeDuMi for formation rendezvous

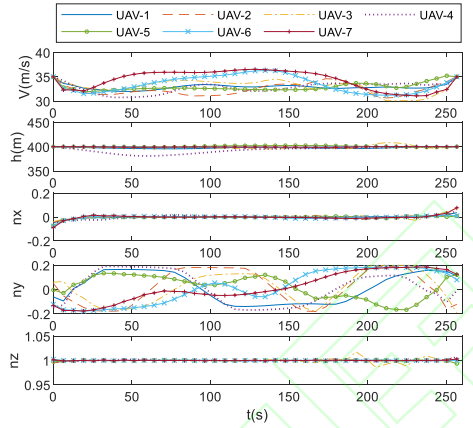


图 14 基于定制内点法的编队集结轨迹规划结果

Fig.14 Trajectory planning results using customized interior-point method for formation rendezvous

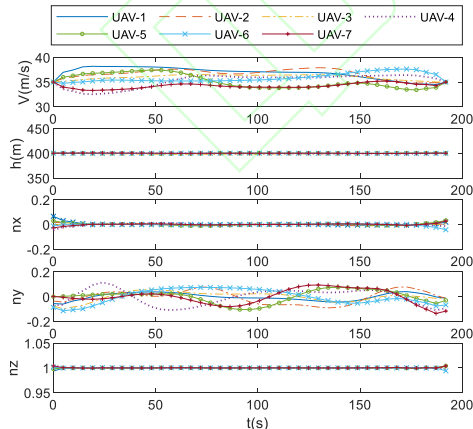


图 15 基于 SeDuMi 的编队重构轨迹规划结果

Fig.15 Trajectory planning results using SeDuMi for formation reconfiguration

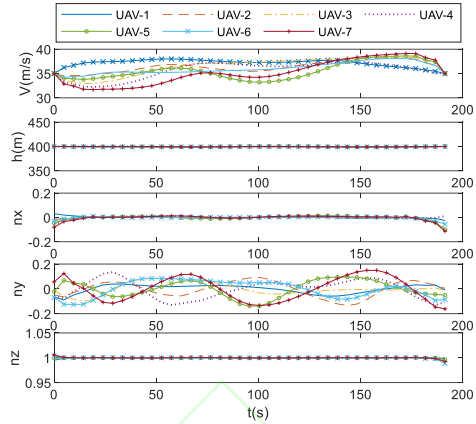


图 16 基于定制内点法的编队重构轨迹规划结果

Fig.16 Trajectory planning results using customized interior-point method for formation reconfiguration

基于定制内点法和 SeDuMi 进行编队轨迹规划的计算耗时统计结果如图 17 和图 18 所示。由图可见,在所有想定下,定制内点法的规划效率都优于 SeDuMi。其中,对于 7 机集结和重构轨迹规划问题,基于 SeDuMi 的轨迹规划耗时分别为 19.0s 和 13.1s,而基于定制内点法的耗时仅为 3.0s 和 2.4s。不同规模下编队集结和编队重构规划结果的统计数据表明,基于定制内点法的轨迹规划平均耗时约为 SeDuMi 求解耗时的 1/7 和 1/6。

同时,对于上述编队集结和重构轨迹规划问题,单机解耦规划时凸优化的变量维度 n_X 和约束数量 n_A 约为 10^3 和 2×10^3 ,结合表 1 给出的计算复杂度表达式,此时定制内点法在子优化问题求解时的计算复杂度约为一般内点法的 1/10。但除了子问题求解,轨迹规划还需要完成子问题构建、协同约束生成等计算,这些过程的计算耗时对于定制内点法和一般内点法基本相同的。因此,定制内点法完成协同轨迹规划的耗时与一般内点法耗时的比值会大于 1/10,这与仿真试验获得的计算耗时统计结果是一致的。

另外,根据文献[15]给出的伪谱法解耦协同轨迹规划结果,上述编队集结和重构的平均计算耗时为 100.7s 和 111.0s。可见,相比于广泛应用的伪谱法,本文提出的定制内点法可显著提高轨迹规划效率。

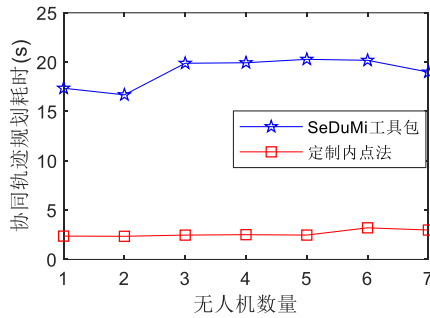


图 17 编队集结轨迹规划耗时

Fig.17 Computation time for formation reconfiguration

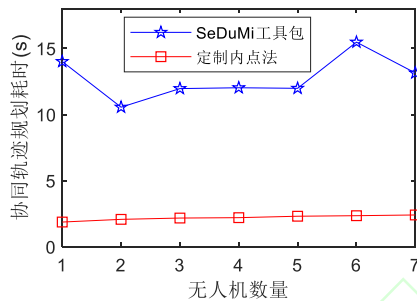


图 18 编队重构轨迹规划耗时

Fig.18 Computation time for formation reconfiguration

根据上述轨迹结果分析和计算时效性对比可知,定制内点法生成的编队轨迹结果最优性与一般内点法相当,但采用定制内点法可将协同轨迹规划的计算耗时降低一个数量级,即从十秒级降低到秒级。对于7机编队轨迹规划问题,在解耦 SCP 规划架构下,定制内点法可以在3秒内生成安全可行的编队协同轨迹。

6 结论

针对基于解耦 SCP 的多机协同轨迹规划中需迭代求解的凸优化子问题,通过引入松弛变量构建等价形式,并利用协同轨迹规划问题的模型特征,定制子问题求解的高效内点法,以降低子问题计算耗时,进而提高协同轨迹规划效率。在计算复杂度分析的基础上,通过数值仿真对定制内点法的有效性和性能优势进行验证。仿真结果表明,在轨迹寻优能力、轨迹可实现性和轨迹控制能耗

方面,定制内点法可以获得与 SeDuMi 相当的轨迹结果,但定制内点法完成轨迹规划的计算耗时相比 SeDuMi 可以降低一个数量级,即由十秒级降至秒级。

References

- Shen Lin-Cheng, Niu Yi-Feng, Zhu Hua-Yong. *Theories and Methods of Autonomous Cooperative Control for Multiple UAVs*. Beijing: National Defense Industry Press, 2013. 1-9 (in Chinese)
(沈林成, 牛轶峰, 朱华勇. 多无人机自主协同控制理论与方法. 北京: 国防工业出版社, 2013, 1-9)
- Liu X F, Lu P, and Pan B. Survey of convex optimization for aerospace applications. *Astrodynamics*, 2017, **1**(1): 23-40.
- Boyd S, Vandenberghe L. *Convex Optimization*. New York: Cambridge University Press, 2004. 1-15
- Liu X F, Lu P. Solving nonconvex optimal control problems by convex optimization. *Journal of Guidance, Control, and Dynamics*, 2014, **37**(3): 750-765
- Schulman J, Duan Y, Ho J, Lee A, Awwal I, Bradlow H, et al. Motion planning with sequential convex optimization and convex collision checking. *The International Journal of Robotics Research*, 2014, **33**(9): 1251-1270
- Misra G, Bai X L. Optimal path planning for free-flying space manipulators via sequential convex programming. *Journal of Guidance, Control, and Dynamics*, 2017, **40**(11): 3026-3033
- Liu Yan-Jie, Zhu Sheng-Ying, Cui Ping-Yuan. Soft landing trajectory optimization on asteroids by convex programming. *Journal of Astronautics*, 2018, **39**(2):177-183 (in Chinese)
刘延杰, 朱圣英, 崔平远. 序列凸优化的天体附着轨迹优化. 宇航学报, 2018, 39(2):177-183
- Wang Jing-Bo, Cui Nai-Gang, Guo Ji-Feng, Xu Da-Fu. High precision rapid trajectory optimization algorithm for launch vehicle landing. *Control Theory & Applications*, 2018, **35**(3):389-398 (in Chinese)
(王劲博, 崔乃刚, 郭继峰, 徐大富. 火箭返回着陆问题高精度快速轨迹优化算法. 控制理论与应用, 2018, 35(3):389-398
- Zhang Z, Li J X, Wang J. Sequential convex programming for nonlinear optimal control problems in UAV path planning. *Aerospace Science and Technology*, 2018, **76**(5): 280-290
- Zhou D, Zhang Y Q, Li S L. Receding horizon guidance and control using sequential convex programming for spacecraft 6-DOF close proximity. *Aerospace Science and Technology*, 2019, **87**(4): 459-477
- Augugliaro F, Schoellig A, D'andrea R. Generation of

- collision-free trajectories for a quadcopter fleet: a sequential convex programming approach. In: *Proceedings of IEEE/RSJ International Conference on Intelligent Robots and Systems (IROS)*, Piscataway, USA: IEEE, 2012. 1917-1922
12. Chen Y, Cutler M, How J. Decoupled multiagent path planning via incremental sequential convex programming. In: *Proceedings of IEEE International Conference on Robotics and Automation (ICRA)*, Piscataway, USA: IEEE, 2015. 5954-5961
 13. Morgan D, Subramanian G, Chung S-J, Hadaegh F. Swarm assignment and trajectory optimization using variable-swarm, distributed auction assignment and sequential convex programming. *The International Journal of Robotics Research*, 2016, **35**(10): 1261-1285
 14. Wang Zhu, Liu Li, Long Teng, Wen Yong-Lu. Trajectory planning for multi-UAVs using penalty sequential convex programming. *Acta Aeronautica et Astronautica Sinica*, 2016, **37**(10):3149-3158 (in Chinese)
(王祝, 刘莉, 龙腾, 温永禄. 基于罚函数序列凸规划的多无人机轨迹规划, 航空学报, 2016, **37**(10):3149-3158)
 15. Wang Z, Liu L, Long L. Minimum-time trajectory planning for multi-unmanned-aerial-vehicle cooperation using sequential convex programming. *Journal of Guidance, Control, and Dynamics*, 2017, **40**(11): 2972-2978
 16. Wang Z, Liu L, Long L, Xu G T. Efficient UAVs formation rendezvous trajectory planning using Dubins path and sequential convex programming. *Engineering Optimization*, 2019, **51**(8): 1412-1429
 17. Sturm J F. Using SeDuMi 1.02, a matlab toolbox for optimization over symmetric cones. *Optimization Methods and Software*, 1999, **11-12**(1-4): 625-653
 18. Andersen E D, Roos C, Terlaky T. On implementing a primal-dual interior-point method for conic quadratic optimization. *Mathematical Programming*, 2003, **95**(2):249-277
 19. Dueri D, Acikmese B, Scharf D, Harris M. Customized real-time interior-point methods for onboard powered-descent guidance. *Journal of Guidance, Control, and Dynamics*, 2017, **40**(2): 197-212
 20. Xu G T, Long T, Wang Z, Cao Y. Matrix structure driven interior point method for quadrotor real-time trajectory planning. *IEEE Access*, 2019, **7**(2019): 90941-90953
 21. Mehrotra S. On the implementation of a primal-dual interior point method. *SIAM Journal on Optimization*, 1992, **2**(4): 575-601
 22. Duff I. MA57-A code for the solution of sparse symmetric definite and indefinite systems. *ACM Transactions on Mathematical Software*, 2004, **30**(2): 118-144
 23. Mehrotra S. Asymptotic convergence in a generalized predictor-corrector method. *Mathematical Programming*, 1996, **74**(1): 11-28.
 24. Mao Y, Szmuk M, Acikmese B. Successive convexification of non-convex optimal control problems and its convergence properties. In: *Proceedings of IEEE Conference on Decision and Control (CDC)*, Piscataway, USA: IEEE, 2016. 3636-3641



王祝 华北电力大学自动化系讲

师, 主要研究方向为机器人自主控制、轨迹规划、多机器人系统。

(WANG Zhu Lecturer at the Department of Automation, North China Electric Power University. His research interest covers autonomous control of robots, trajectory planning and multiple robot system.)



徐广通 北京理工大学宇航学院

博士研究生, 主要研究方向为多无人机轨迹规划、凸优化。

(XU Guang-Tong Ph. D. candidate at the School of Aerospace Engineering, Beijing Institute of Technology. His research interest covers multi-UAV trajectory planning and convex optimization.)



龙腾 北京理工大学宇航学院教授, 主要研究方向为飞行器总体设计、多学科设计优化、协同任务规划。

(LONG Teng Professor at the School of Aerospace Engineering, Beijing Institute of Technology. His research interest covers flight vehicle overall design, multiple disciplinary optimization, and cooperative mission planning.)